

С.К. ДЕМЕНТЬЕВ, В.И. ЛИТВИНЧУК, Т.В. ПОЛИНА,  
Р.Ф. ТОЛМАЧЕВА

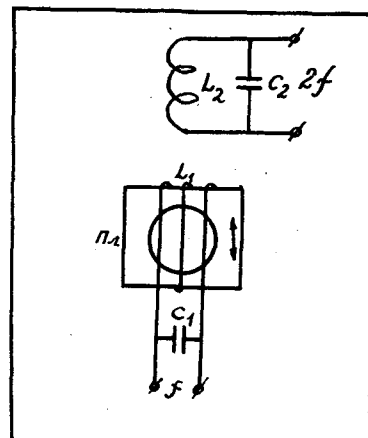
### ЭКСПЕРИМЕНТАЛЬНОЕ ИССЛЕДОВАНИЕ ОБЛАСТЕЙ КОЛЕБАНИЯ В ПАРАМЕТРОНЕ НА МАГНИТНОЕ ПЛЕНКЕ

Исследуемые параметроны состояли из пермаллоевой пленки, обмотки и конденсатора (рис.1). Эти параметроны помещались в полость между двумя шинами, которые создавали индуктивность ( $L_2$ , рис.1) контура питания. Так как ширина шин была значительно меньше расстояния между ними, то поле между шинами было приблизительно равно  $H = \frac{i}{h}$ , где  $i$  - ток в шинах,  $h$  - ширина шин. Контур питания настраивался в резонанс для создания достаточной величины переменного тока в шинах и, следовательно, - поля между шинами  $H_{\sim}$ . В шинах также протекал постоянный ток, который создавал постоянное поле между шинами  $H_{-}$ . В исследуемых параметронах переменное и постоянное поля питания направлялись вдоль оси легкого намагничивания пленок (на рис.1 направление оси легкого намагничивания обозначено двумя стрелками). В экспериментах частота переменного поля питания ( $2f$ ) была принята равной 4,8 мГц, пленки имели круглую форму диаметром 1 см, стеклянные подложки пленок имели размеры 18 x 18 x 0,1 mm<sup>3</sup>, катушка  $h$ , имела 10 витков, намотанных в один слой, поперечное сечение этой катушки было 35 x 1,4 mm<sup>2</sup>, диаметр провода 0,09 мм. Емкость конденсатора  $C_2 = 2100 \mu F$ . Блок-схема измерительной установки приведена на рис.2. Напряжение генератора модулировалось с частотой 50 Гц, усиливалось и прикладывалось к контуру  $L_2 C_2$ . При

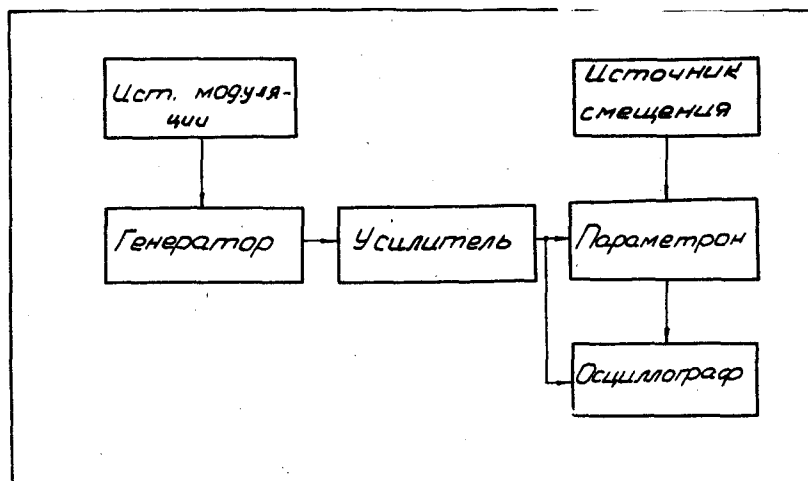
этом на пленку параметрона действовало переменное поле, амплитуда которого медленно изменялась с частотой модуляции. Постоянное поле, действующее на пленку одновременно с переменным, можно было менять по усмотрению. Напряжения на емкости контура питания (частоты  $2f$ ) и на емкости контура параметрона (частоты  $f$ ) одновременно просматривались на экране двухлучевого осциллографа (рис. 3,4).

Модуляция переменного поля позволяла при каждом значении постоянного поля  $H_{-}$  по одной осциллограмме определить значения переменных полей, при которых существуют параметрические колебания (рис.3). Было исследовано 27 пленок. Области колебаний для этих пленок определялись в координатах  $H_{\sim}$ ,  $H_{-}$ . Из них 24, толщина которых была несколько больше 1500 Å<sup>0</sup>, дали параметрические колебания с частотой  $f$ . Как показали результаты измерений, для большинства пленок области колебаний существовали в пределах  $H_{\sim} = 2,7 \pm 4,5$  см,  $H_{-} = 0,6 \pm 2,0$  см. Таким образом, колебания существовали при изменении амплитуд переменного поля по отношению к среднему значению на  $\pm 20\%$  и при изменении постоянного поля - на  $\pm 45\%$ . На рис.5 показаны характерные области колебаний в параметронах с пленками 99б, 95б и 71в.

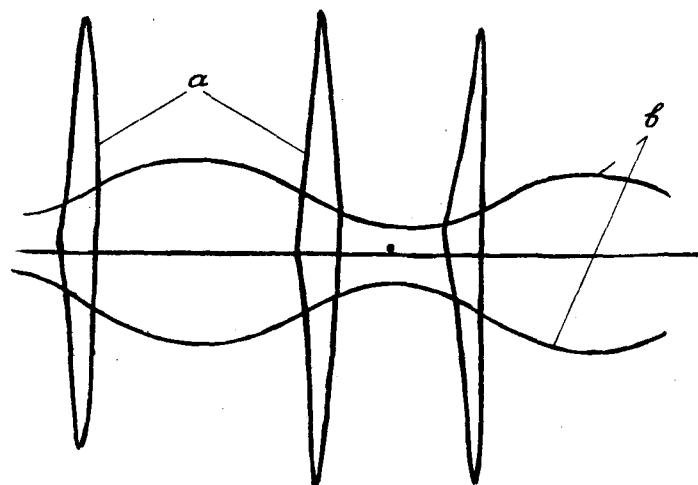
На рис. 6 показано изменение областей колебаний при изменении частоты переменного поля (для пленки 98б). Как видно из этого рисунка, заметное уменьшение областей параметрических колебаний происходит при изменении частоты  $2f$  на 6% по сравнению с частотой  $2f_{рез.}$ , соответствующей наибольшей области колебаний.



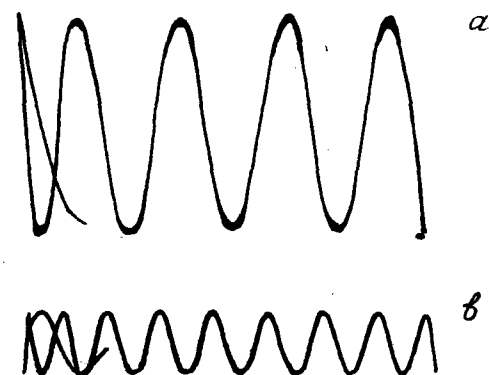
Р и с.1. Схема параметрона



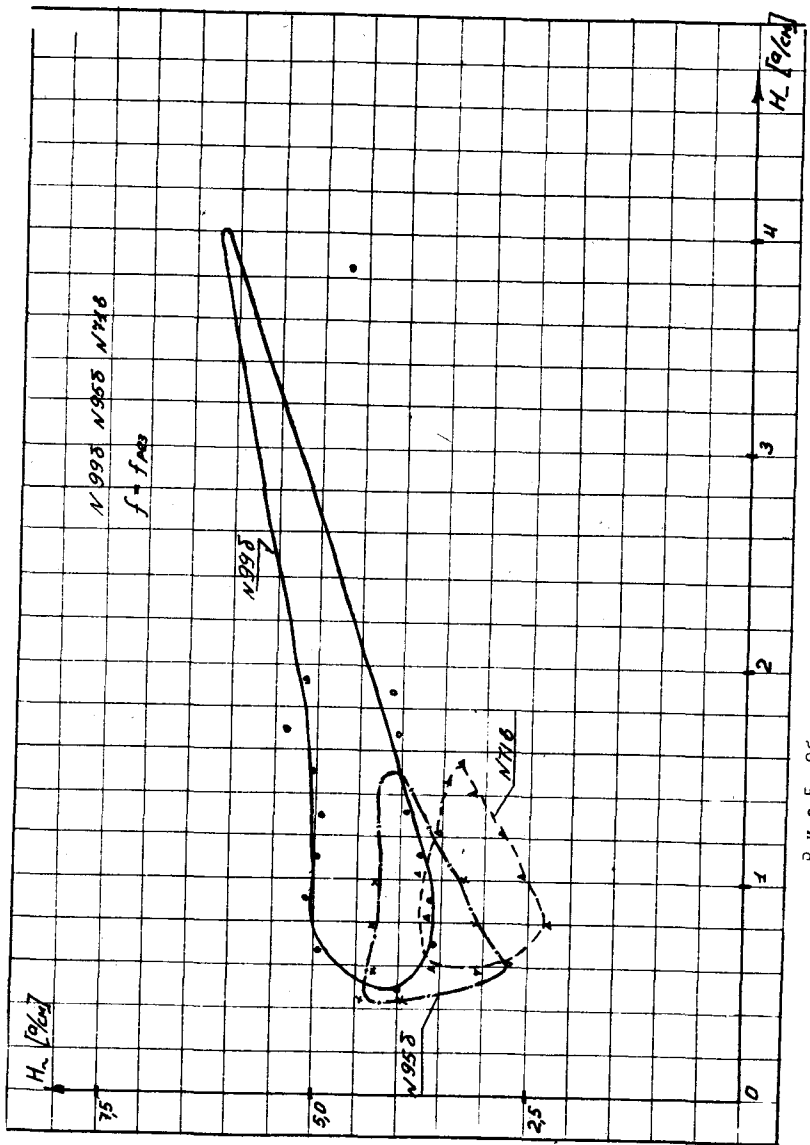
Р и с.2. Блок-схема испытательной установки



Р и с.3. Совмещённые осциллограммы параметрических колебаний *a* и внешнего модулированного поля *b*

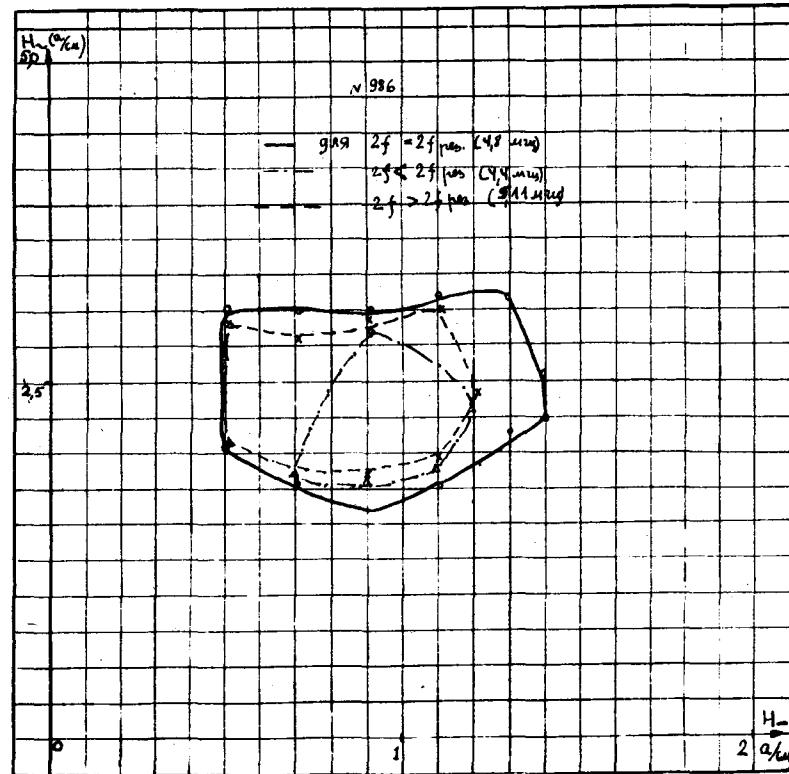


Р и с.4. Совмещённые осциллограммы параметрических колебаний *a* и внешнего поля *b*



Р и с.5. Области параметрических колебаний  
пленок 99<sub>6</sub>, 95<sub>6</sub>, 71<sub>6</sub>.

56



Р и с.6. Изменение областей параметрических  
колебаний при изменении частоты внешнего поля